

Cor.: se $\pi > 0$ è t.c. $\exp_p|_{B(0,\pi)}$ è embedding, $\exp_p(B(0,\pi)) = B(p,\pi)$.

Def.: (M, g) riemanniana, $U \subseteq M$ aperto è TOTALMENTE NORMALE se $\forall p \in U \exists B$ geodetica centrata in p e contenente U .

Fatto: gli aperti totalmente normali ricoprono M .

Teo.: le geodetiche sono esattamente le curve localmente minimizzanti percorse a velocità costante.

Dim.: (\Rightarrow) γ geodetica, $\forall t_0 \exists$ intorno di $\gamma(t_0)$ totalmente normale U , allora dati t_1, t_2 t.c. $\gamma(t_1), \gamma(t_2) \in U$, il pezzo di γ che li congiunge è minimizzante.

(\Leftarrow) γ loc. minimizzante \Rightarrow loc. minimizzante in un intorno totalmente normale \Rightarrow geodetica. \square

Completezza

(M, g) riemanniana \Rightarrow s.m..

Def.: M è GEODETICAMENTE COMPLETO se le geodetiche esistono tutte $\forall t \in \mathbb{R}$.

Prop.: se M è geod. completa è connessa, $\forall p, q \exists$ geodetica minimizzante che li collega.

Dim.: S sfera geod. centrata in p , $S \rightarrow \mathbb{R}$, $x \mapsto d(x, q)$ t.c. x_0 è minimo, considero la geodetica γ che va da p in x_0 .
 \hookrightarrow velocità 1

Ex.: $d = d(p, q) \Rightarrow \gamma(d) = q$.

Hint: considera $J \subseteq [0, d]$, $J = \{t \mid d(\gamma(t), q) = d - t\} \ni 0$, si mostra che è clopen. \square

Cor.: M geod. completa e connessa $\Rightarrow \exp_p: T_p M \rightarrow M$ è suri. e $\forall \pi > 0 \exp_p(B(0, \pi)) = B(p, \pi)$.

Teo. (Hopf-Rinow): sono equivalenti:

- 1) M completa;
- 2) $K \subseteq M$ cpt \Leftrightarrow chiuso lim.;
- 3) M geod. completa.

Dim.: 3) \Rightarrow 2): cpt \Rightarrow chiuso lim. ok. K chiuso lim.:

$p \in M$ qualsiasi, $\exp_p: T_p M \rightarrow M$ suri., $\exists \pi$ t.c.

$$\exp_p(B(0, \pi)) = B(p, \pi) \supseteq K \Rightarrow \hookrightarrow K \text{ lim.}$$

$$\Rightarrow \exp_p(\overline{B(0, \pi)}) \supseteq K \Rightarrow K \text{ chiuso in cpt} \Rightarrow \text{cpt.}$$

2) \Rightarrow 1) Standard per s.m..

1) \Rightarrow 3) PA M non è geod. completa $\Rightarrow \exists \gamma: (a, b) \rightarrow M$ geod. massimale, $b < +\infty$. γ geod. \Rightarrow lipschitziana (velocità costante) $\Rightarrow \{t_n\}$ di Cauchy, $t_n \in (a, b)$, $t_n \rightarrow b \Rightarrow \{\gamma(t_n)\}$ di Cauchy $\Rightarrow \exists \bar{x}$ limite.

In carte: $x(t_n)$ converge, $\|\dot{x}(t_n)\|$ lim. \Rightarrow si estende. \square

Cor.: M cpt \Rightarrow geod. completa.

$S \subseteq \mathbb{R}^n$ chiuso \Rightarrow geod. completo.

Cor.: ogni varietà ha una metrica riemanniana geod. completa.

Dim.: Whitney $\Rightarrow M \subseteq \mathbb{R}^n$ chiuso. \square

Curvatura

(M, ∇) . Def.: il TENSORE DI RIEMANN di $\nabla \in \Gamma \mathcal{T}_1^3(M)$,

$$R(p)(u, v, w) = \nabla_u \nabla_v z - \nabla_v \nabla_u z - \nabla_{[X, Y]} z$$

\downarrow
 X

\downarrow
 Y

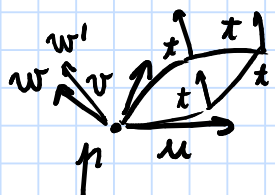
\downarrow
 z

Non dipende dalle estensioni scelte.

Oss.: su \mathbb{R}^n euclideo, $R \equiv 0$.

Teo.: (M, g) è loc. isometrica a $\mathbb{R}^n \Leftrightarrow R \equiv 0$ (PIATTA). Dim.: no. \square

$p \in M$, $R(p)(u, v, w) = \mathfrak{z}$, estendo u e v a campi che commutano, trasporto w lungo il "rettangolino", trovo $w' = w + t^2 \mathfrak{z} + o(t^2)$.



In coordinate R_{ijk}^l è antisimmetrico in i e j (ci sono anche altre simmetrie).

Tensore di Ricci: $(1, 3) \rightsquigarrow (0, 2)$, $R_{ij} = R_{lij}^l$.

È importante per l'equazione di campo di Einstein: (M, g) 4-varietà lorentziana,

$$\begin{matrix} \text{"}R_{ij}\text{"} & = & T_{ij} \\ \downarrow & & \downarrow \\ \text{curvatura} & & \text{tensore} \\ & & \text{energia-impulso} \end{matrix}$$

Se abbiamo g , $R_{ij} \rightsquigarrow R^i_j \rightsquigarrow R^i_i = R$ CURVATURA SCALARE, nel caso di superfici in \mathbb{R}^3 è, a meno di costanti, la curvatura gaussiana.

In dim. 2, si può fare $R \rightsquigarrow$ Ricci \rightsquigarrow Riemann;

" " 3, " " " Ricci \rightsquigarrow Riemann.